



Оптимальная коммутируемая мощность  
 Низкие статические и динамические потери  
 Разработан для промышленного применения  
 Оптимизирован для линейных преобразователей

**Штыревой  
 Лавинный Диод  
 Тип ДЛ171-320Х-18**

Средний прямой ток	$I_{FAV}$										320 А					
Повторяющееся импульсное обратное напряжение	$U_{RRM}$										400 ÷ 1800 В					
$U_{RRM}$ , В	400	500	600	700	800	900	1000	1100	1200	1300	1400	1500	1600	1800		
Класс по напряжению	4	5	6	7	8	9	10	11	12	13	14	15	16	18		
$T_j$ , °С	- 60 ÷ 150															

## ПРЕДЕЛЬНО ДОПУСТИМЫЕ ЗНАЧЕНИЯ ПАРАМЕТРОВ

Обозначение и наименование параметра		Ед. изм.	Значение	Условия измерения	
<b>Параметры в проводящем состоянии</b>					
$I_{FAV}$	Средний прямой ток	А	320 461	$T_c=119$ °С; $T_c=100$ °С; 180 эл. град. синус; 50 Гц	
$I_{FRMS}$	Действующий прямой ток	А	502	$T_c=119$ °С; 180 эл. град. синус; 50 Гц	
$I_{FSM}$	Ударный ток	кА	12.0 14.0	$T_j=T_{jmax}$ $T_j=25$ °С	180 эл. град. синус; $t_p=10$ мс; единичный импульс; $U_R=0$ В
			13.0 15.0	$T_j=T_{jmax}$ $T_j=25$ °С	180 эл. град. синус; $t_p=8.3$ мс; единичный импульс; $U_R=0$ В
$I^2t$	Защитный фактор	$A^2c \cdot 10^3$	720 980	$T_j=T_{jmax}$ $T_j=25$ °С	180 эл. град. синус; $t_p=10$ мс; единичный импульс; $U_R=0$ В
			700 930	$T_j=T_{jmax}$ $T_j=25$ °С	180 эл. град. синус; $t_p=8.3$ мс; единичный импульс; $U_R=0$ В
<b>Блокирующие параметры</b>					
$U_{RRM}$	Повторяющееся импульсное обратное напряжение	В	400÷1800	$T_{jmin} < T_j < T_{jmax}$ ; 180 эл. град. синус; 50 Гц	
$U_{RSM}$	Неповторяющееся импульсное обратное напряжение	В	500÷1900	$T_{jmin} < T_j < T_{jmax}$ ; 180 эл. град. синус; единичный импульс	
$U_{(BR)}$	Пробивное напряжение	В	500÷2250	$T_j=25$ °С; $I_{br}=100$ мА; 180 эл. град. синус; 50 Гц	
$U_R$	Постоянное обратное напряжение	В	$0.6 \cdot U_{RRM}$	$T_j=T_{jmax}$	
$P_{RSM}$	Ударная обратная рассеиваемая мощность	кВт	16	$T_j=T_{jmax}$ ; $t_p = 100$ мкс; 180 эл. град. синус; единичный импульс	
<b>Тепловые параметры</b>					
$T_{stg}$	Температура хранения	°С	- 60 ÷ 50		
$T_j$	Температура р-п перехода	°С	- 60 ÷ 150		
<b>Механические параметры</b>					
M	Крутящий момент затяжки	Нм	25 ÷ 35		
a	Ускорение	м/с <sup>2</sup>	100		

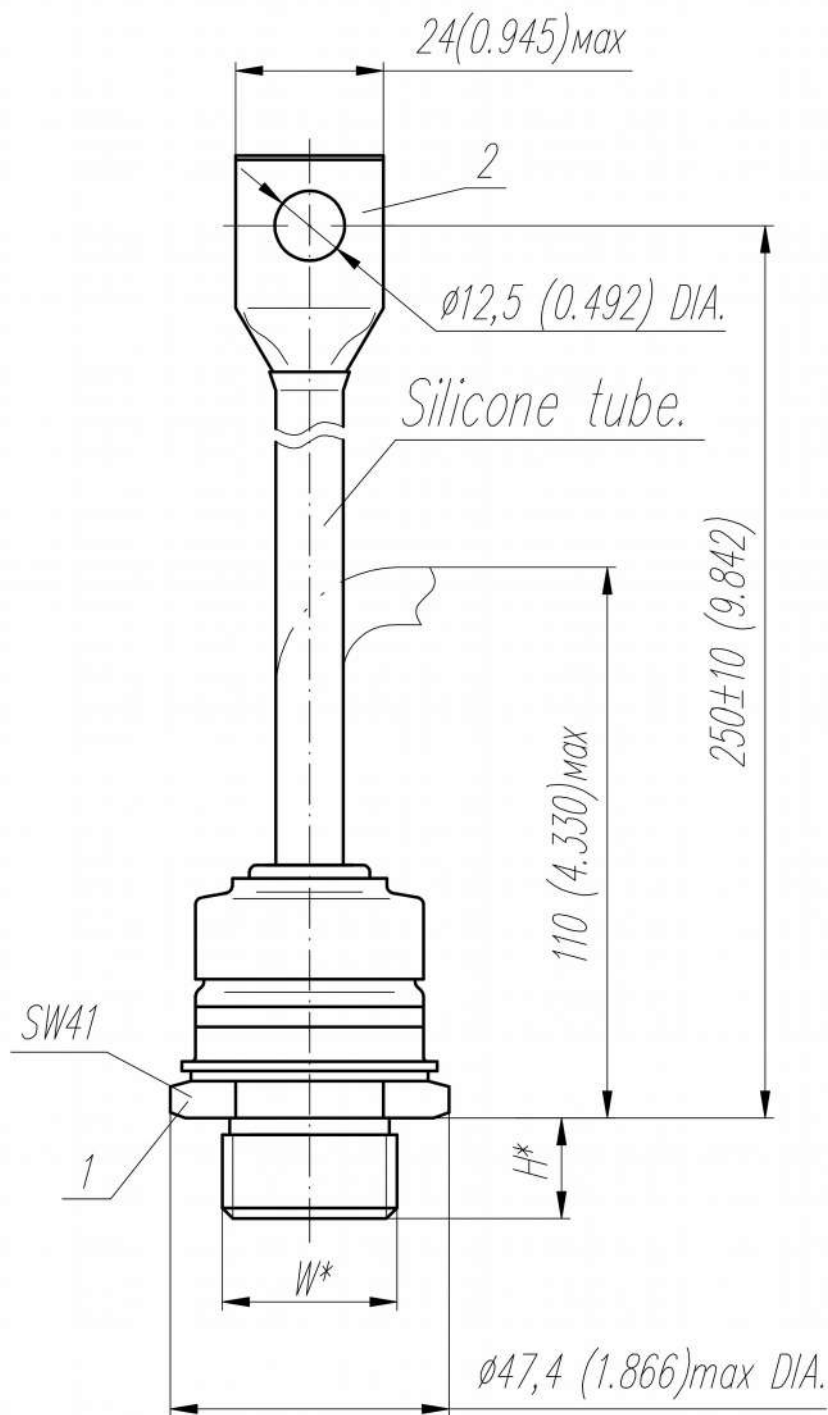
## ХАРАКТЕРИСТИКИ

Обозначение и наименование характеристики		Ед. изм.	Значение	Условия измерения
<b>Характеристики в проводящем состоянии</b>				
$U_{FM}$	Импульсное прямое напряжение, макс	В	1.40	$T_j=25\text{ }^\circ\text{C}; I_{FM}=1005\text{ A}$
$U_{F(TO)}$	Пороговое напряжение, макс	В	0.853	$T_j=T_{j\text{ max}};$ $0.5 \pi I_{FAV} < I_T < 1.5 \pi I_{FAV}$
$r_T$	Динамическое сопротивление, макс	МОм	0.524	
<b>Блокирующие характеристики</b>				
$I_{RRM}$	Повторяющийся импульсный обратный ток, макс	мА	25	$T_j=T_{j\text{ max}};$ $U_R=U_{RRM}$
<b>Динамические характеристики</b>				
$Q_{rr}$	Заряд обратного восстановления, макс	мкКл	1500	$T_j=T_{j\text{ max}}; I_{FM}=320\text{ A};$ $di_R/dt=-10\text{ A/мкс};$ $U_R=100\text{ В};$
$t_{rr}$	Время обратного восстановления, макс	мкс	23	
$I_{rrM}$	Ток обратного восстановления, макс	А	130	
<b>Тепловые характеристики</b>				
$R_{thjc}$	Тепловое сопротивление р-п переход-корпус, макс	$^\circ\text{C/Вт}$	0.075	Постоянный ток
<b>Механические характеристики</b>				
$w$	Масса, макс	г	440	
$D_s$	Длина пути тока утечки по поверхности	мм (дюйм)	12.4 (4.882)	
$D_a$	Длина пути тока утечки по воздуху	мм (дюйм)	12.4 (4.882)	

### МАРКИРОВКА

ДЛ	171	320	Х	18	УХЛ2
1	2	3	4	5	6

1. ДЛ – Лавинный Диод
2. Конструктивное исполнение
3. Средний прямой ток, А
4. Полярность: Х – обратная; прямая - не указывается
5. Класс по напряжению
6. Климатическое исполнение по ГОСТ 15150: УХЛ2, Т2

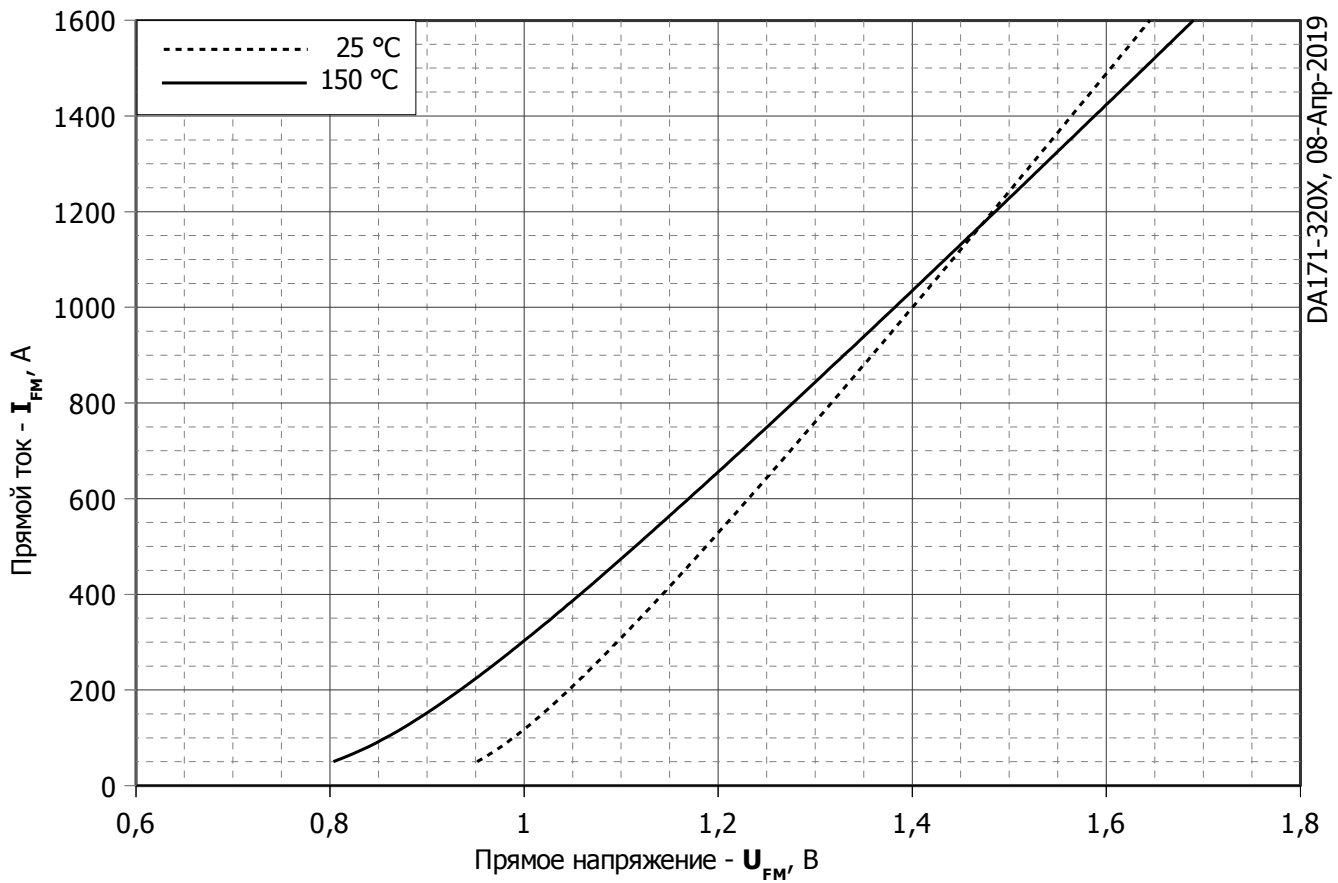


Тип Резьбы	W	H
Метрическая Резьба	M24x1,5 – 8g	19

Полярность	Пример маркировки	Условное обозначение	Цвета	
			Анод	Катод
Катод на основании	ДЛ171-320X-18	$\nabla$	Черная трубка	-

Все размеры в миллиметрах (дюймах)

Содержащаяся здесь информация является конфиденциальной и находится под защитой авторских прав. В интересах улучшения качества продукции, АО «Протон-Электротекс» оставляет за собой право изменять информационные листы без уведомления.



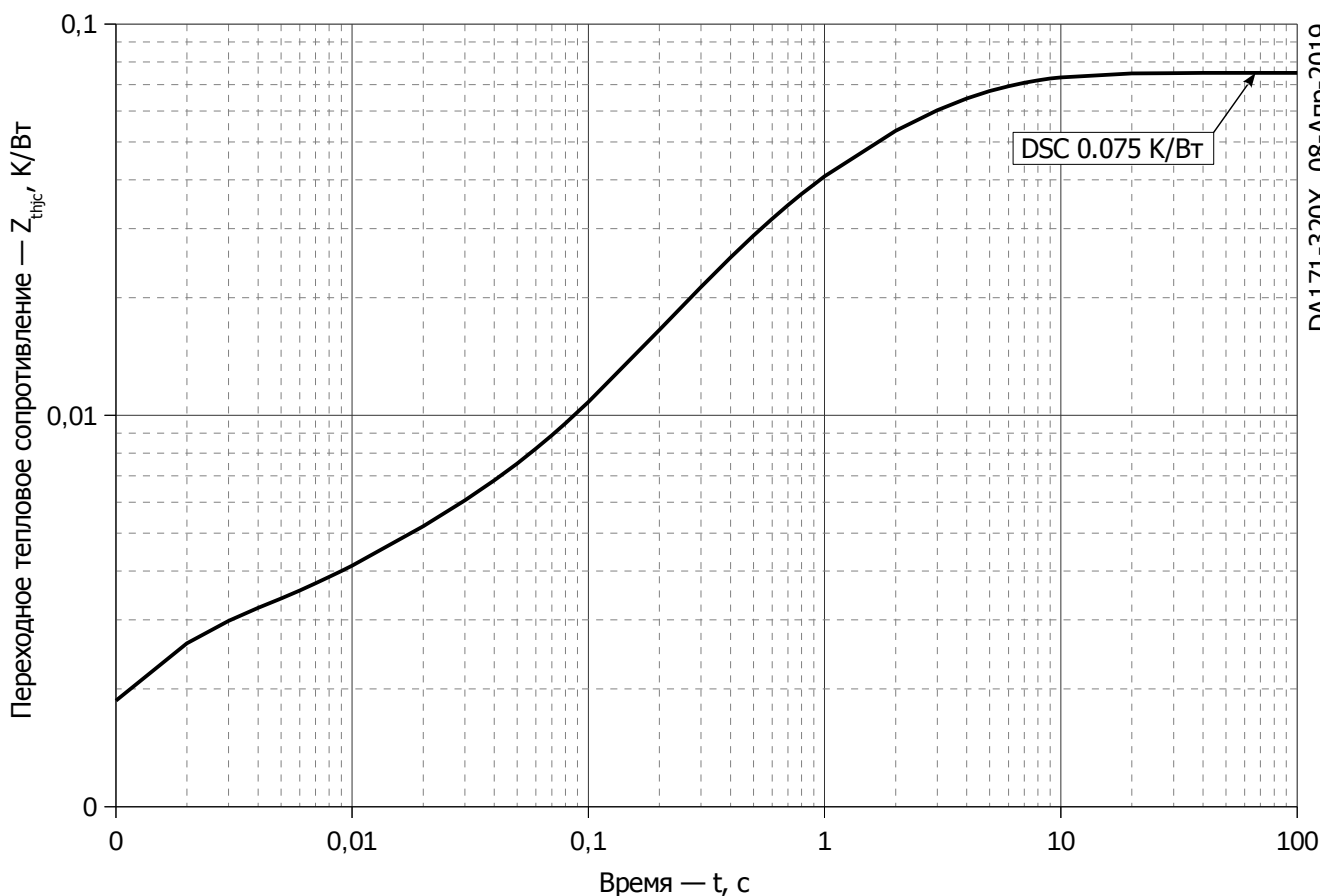
**Рис. 1 – Предельная вольт–амперная характеристика**

Аналитическая функция предельной вольт — амперной характеристики:

$$U_F = A + B \cdot i_F + C \cdot \ln(i_F + 1) + D \cdot \sqrt{i_F}$$

	Коэффициенты для графика	
	$T_j = 25^\circ\text{C}$	$T_j = T_{j \max}$
<b>A</b>	0,83590000	0,59430000
<b>B</b>	0,00037767	0,00049998
<b>C</b>	0,02307000	0,05019300
<b>D</b>	0,00086456	-0,00186790

**Модель предельной вольт – амперной характеристики (см. Рис. 1).**



**Рис. 2 – Зависимость переходного теплового сопротивления  $Z_{thjc}$  от времени  $t$**

Аналитическая зависимость переходного теплового сопротивления переход — корпус:

$$Z_{thjc} = \sum_{i=1}^n R_i \left( 1 - e^{-\frac{t}{\tau_i}} \right)$$

Где  $i = 1$  до  $n$ ,  $n$  – число суммирующихся элементов.

$t$  = продолжительность импульсного нагрева в секундах.

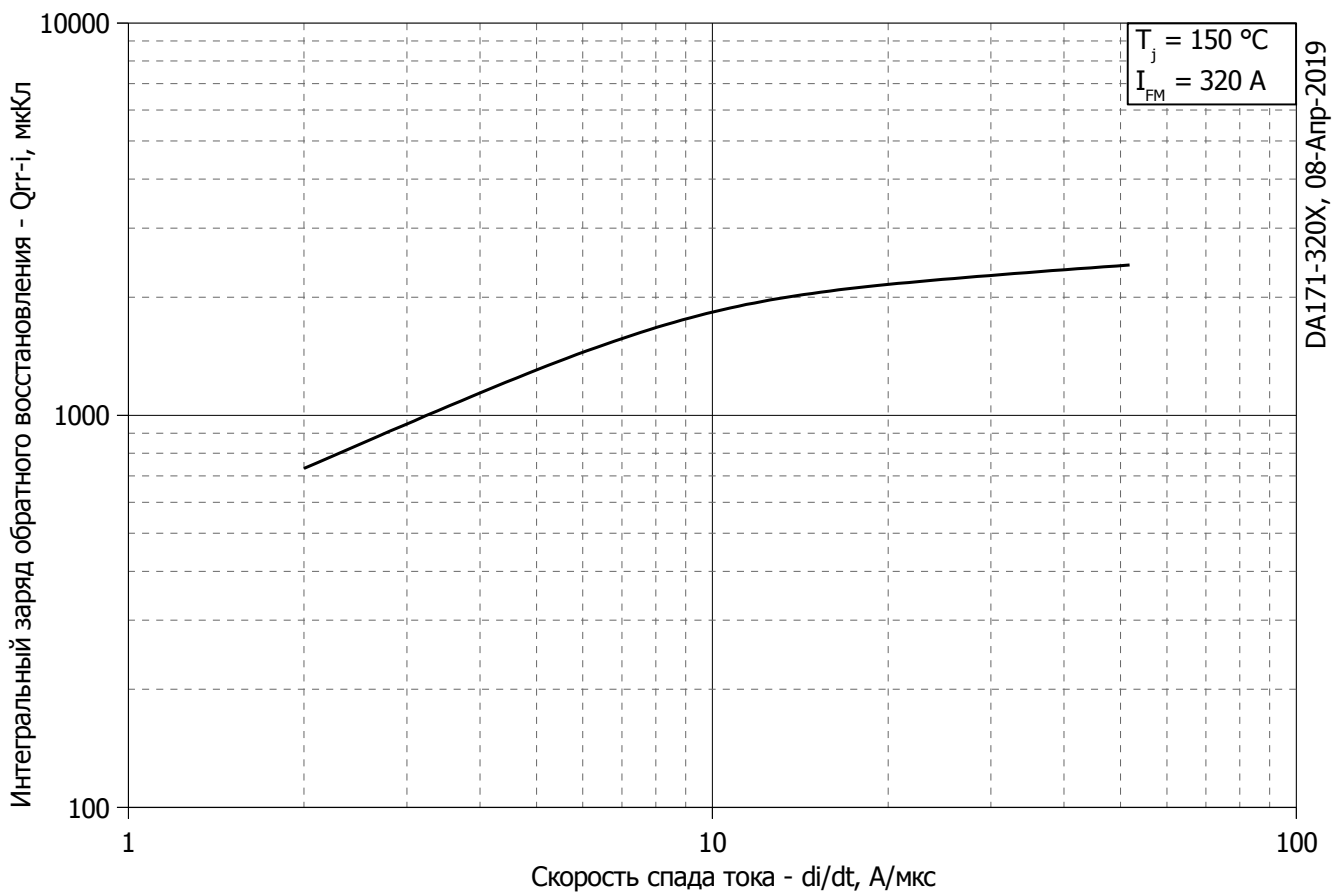
$Z_{thjc}$  = Тепловое сопротивление за время  $t$ .

$R_i, \tau_i$  = расчетные коэффициенты, приведенные в таблице.

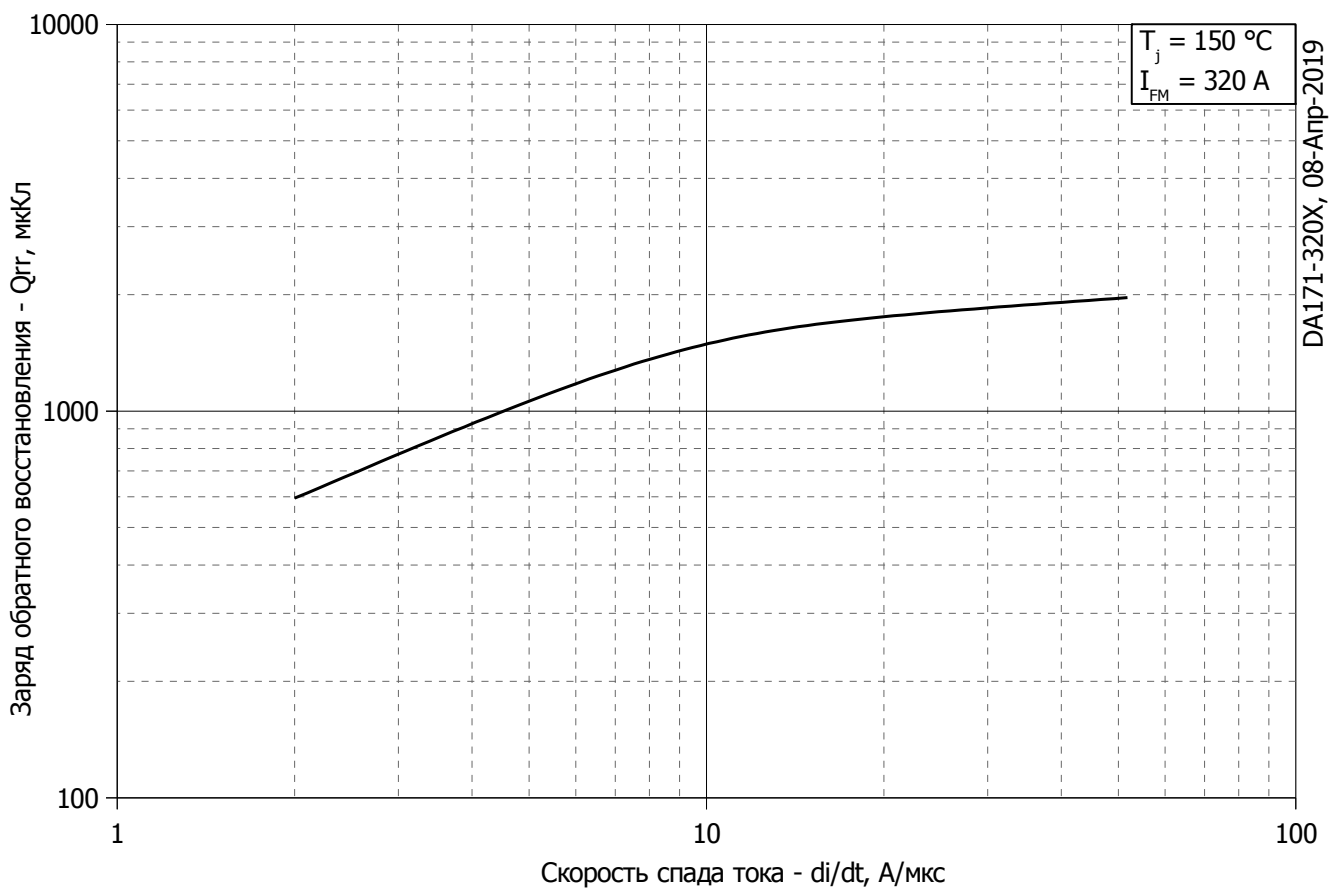
Постоянный ток

$i$	1	2	3	4	5	6
$R_i, \text{K/W}$	0.013357	0.02733	0.01495	0.001445	0.002488	0.01543
$\tau_i, \text{с}$	4.627	2.249	0.3406	0.01043	0.0009112	0.9081

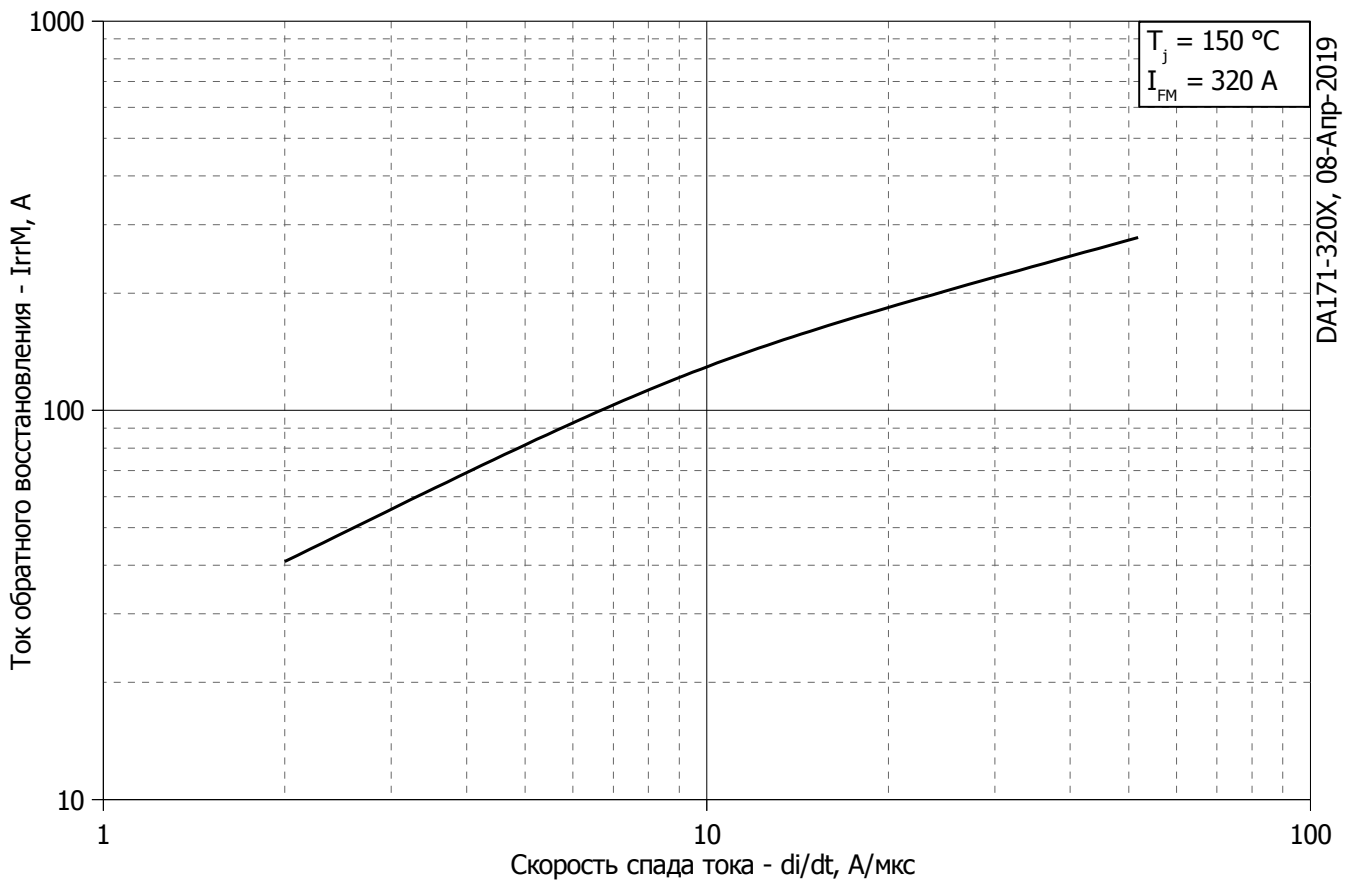
**Модель переходного теплового сопротивления переход - корпус (см. Рис. 2)**



**Рис. 3 – Зависимость максимального интегрального заряда обратного восстановления  $Q_{rr-i}$  от скорости спада прямого тока  $di_R/dt$**

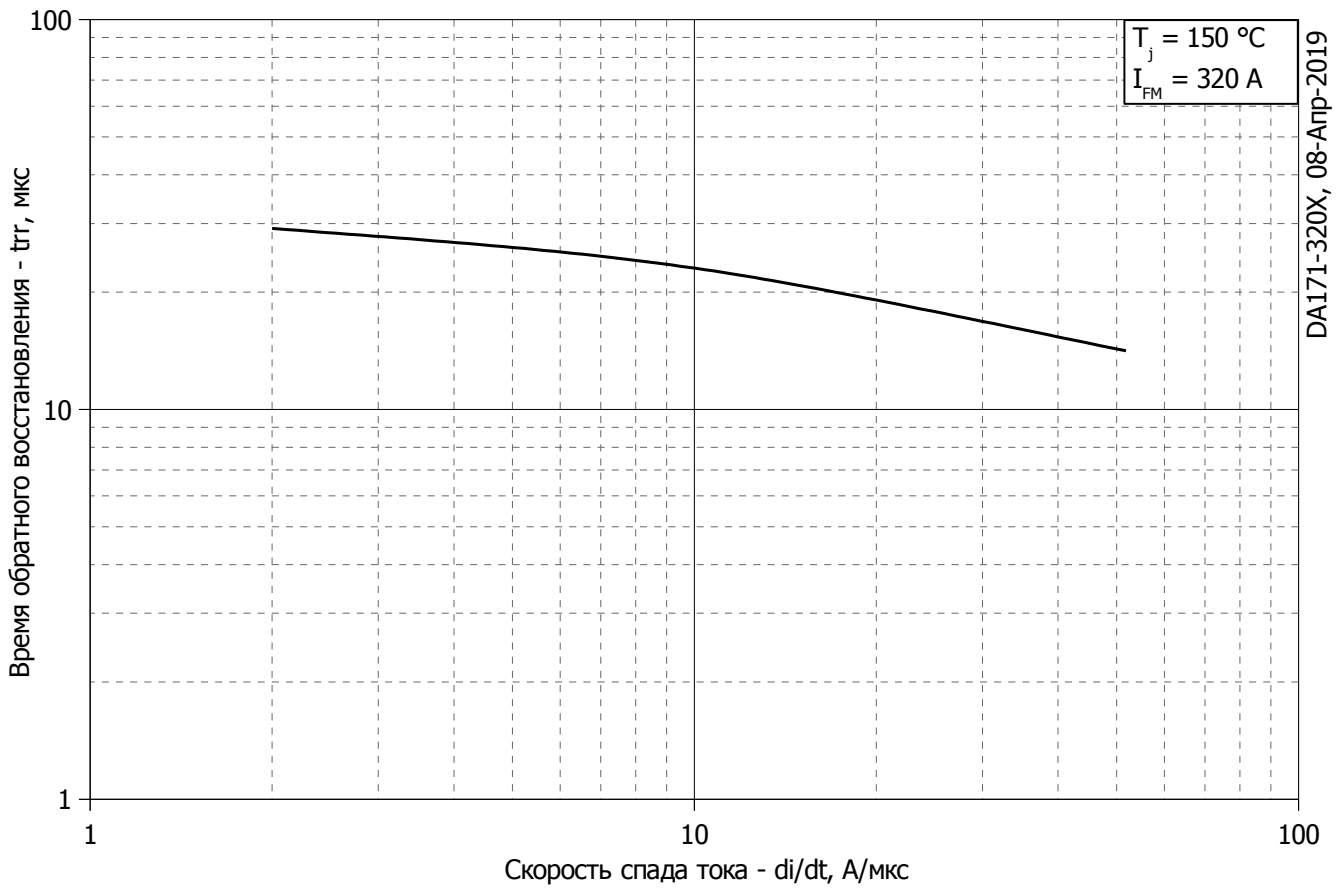


**Рис. 4 – Зависимость максимального заряда обратного восстановления  $Q_{rr}$  от скорости спада прямого тока  $di_R/dt$  (по ГОСТ 24461, хорда 25%)**



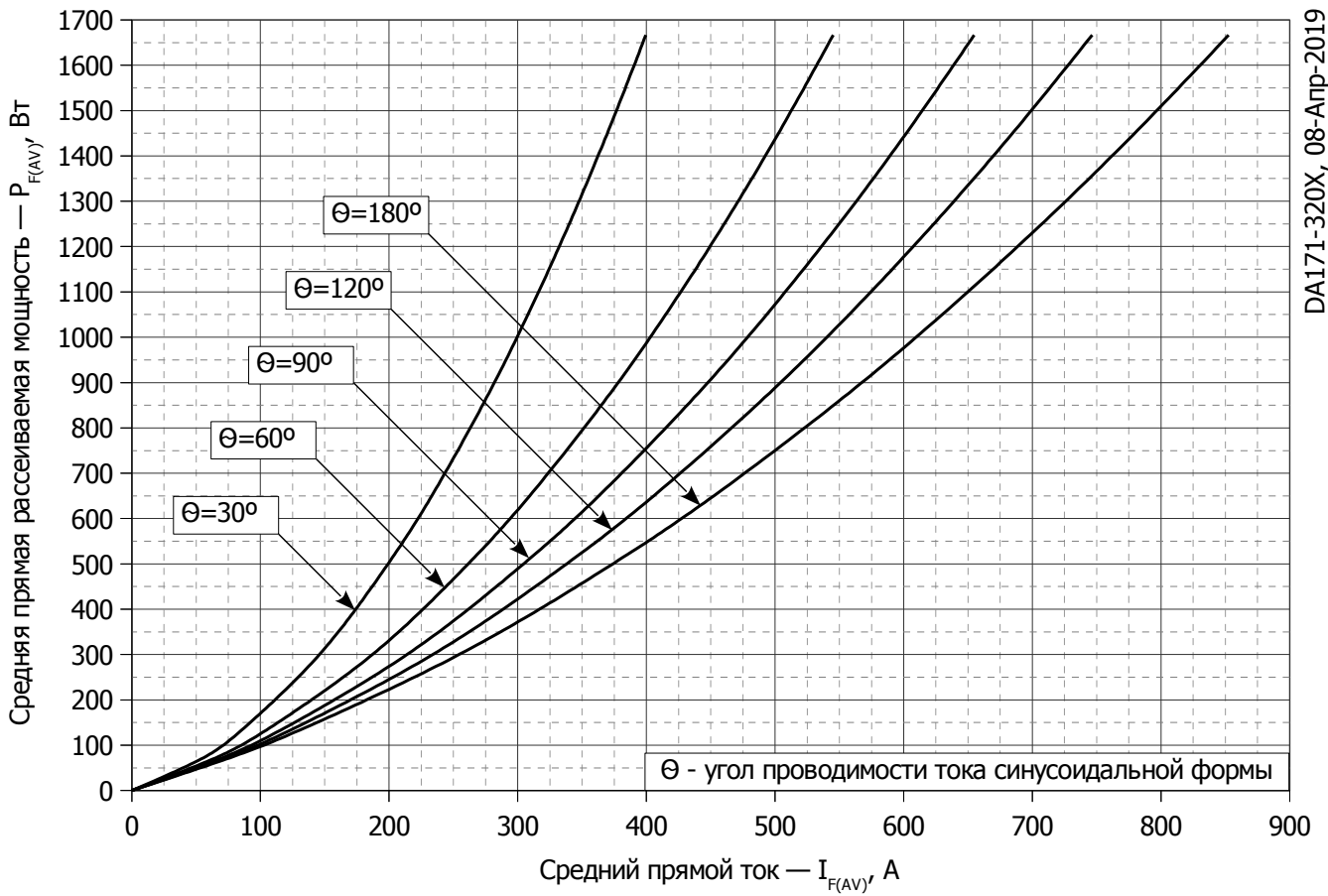
DA171-320X, 08-Апр-2019

**Рис. 5 – Зависимость максимального тока обратного восстановления  $I_{FM}$  от скорости спада прямого тока  $di_R/dt$**



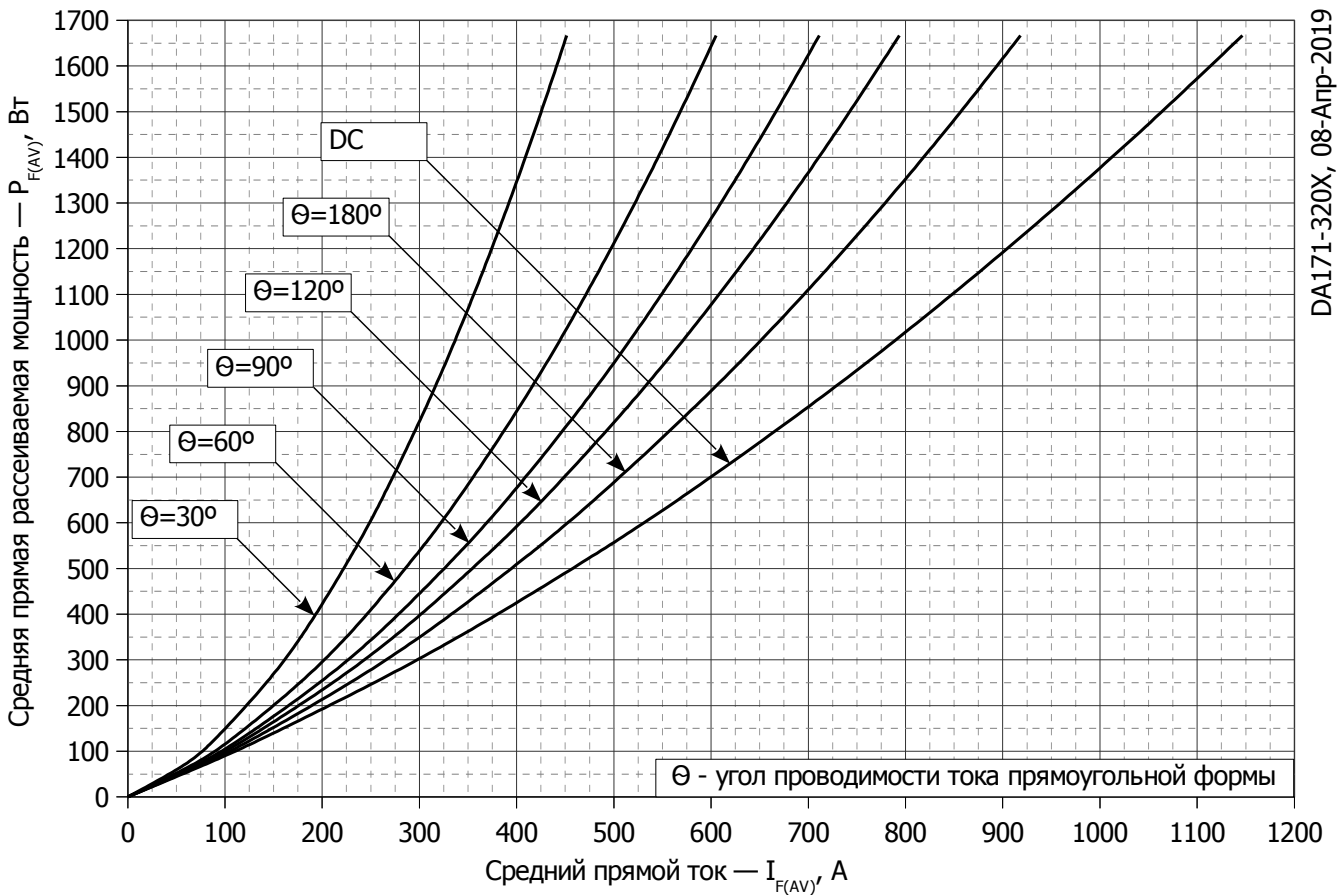
DA171-320X, 08-Апр-2019

**Рис. 6 - Зависимость максимального времени обратного восстановления  $t_{tr}$  от скорости спада прямого тока  $di_R/dt$  (по ГОСТ 24461, хорда 25%)**



DA171-320X, 08-Апр-2019

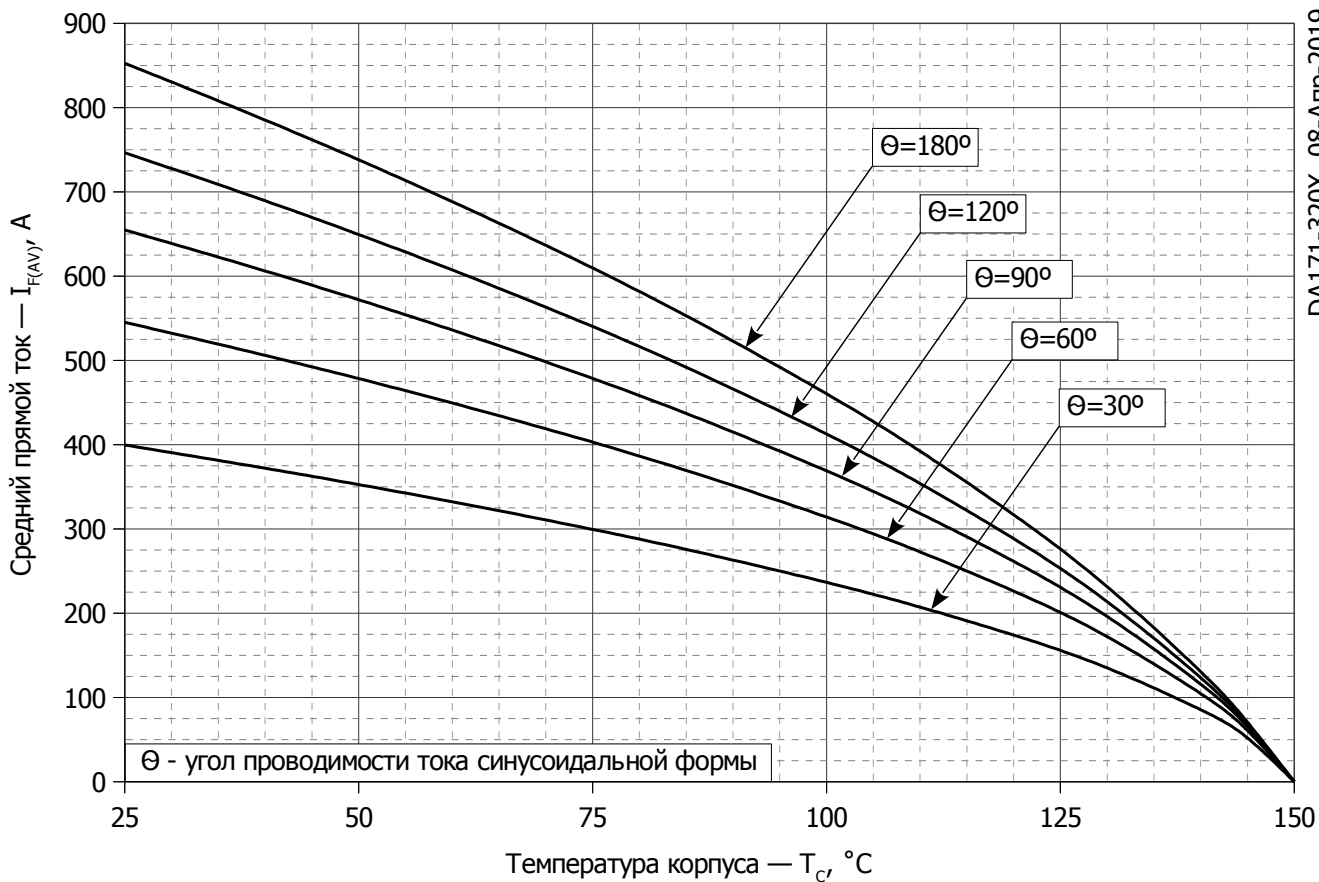
**Рис. 7 - Зависимость потерь мощности  $P_{FAV}$  от среднего прямого тока  $I_{FAV}$  синусоидальной формы при различных углах проводимости ( $f=50$  Гц, двустороннее охлаждение)**



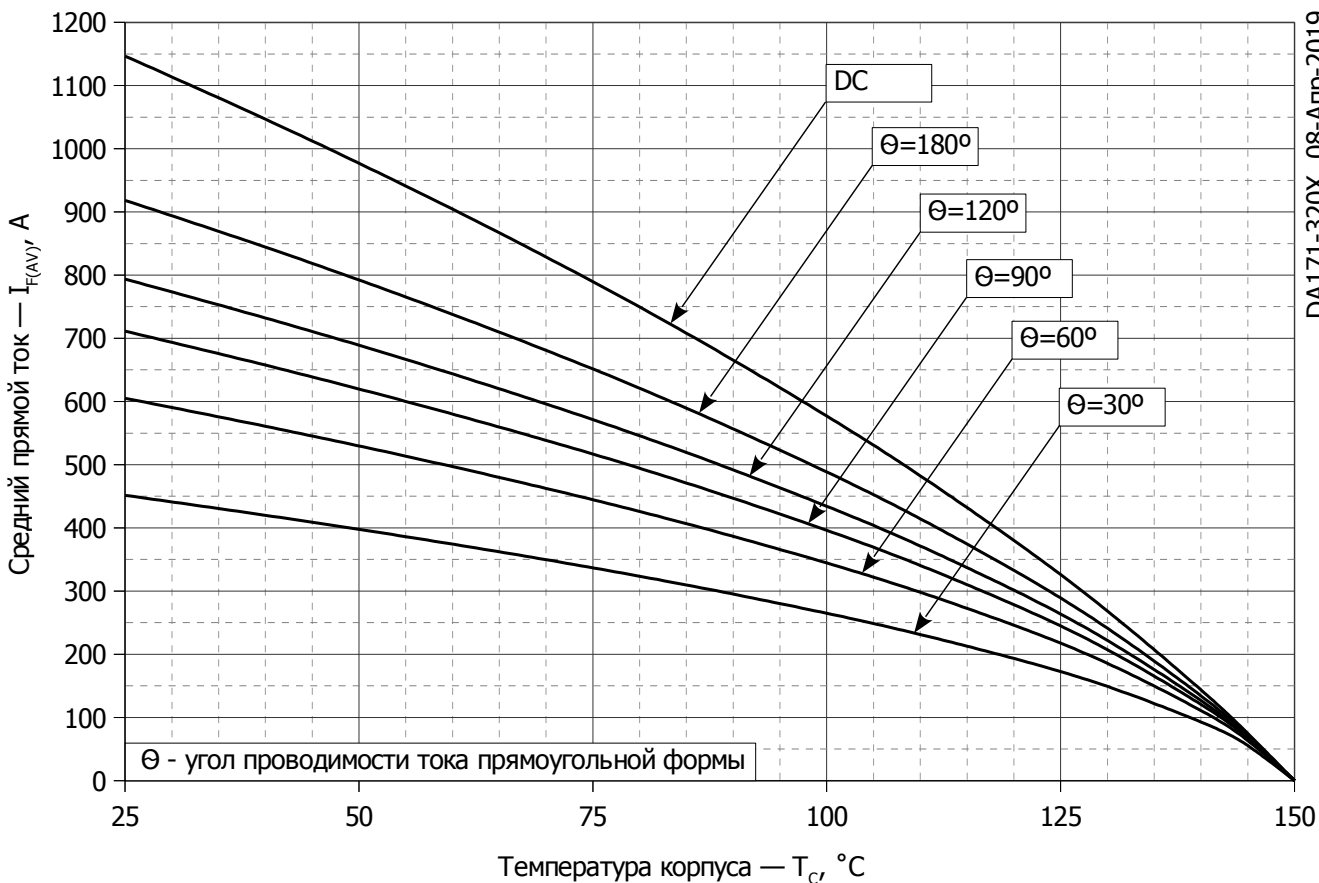
DA171-320X, 08-Апр-2019

**Рис. 8 - Зависимость потерь мощности  $P_{FAV}$  от среднего прямого тока  $I_{FAV}$  прямоугольной формы при различных углах проводимости ( $f=50$  Гц, двустороннее охлаждение)**





**Рис. 9 – Зависимость среднего прямого тока  $I_{FAV}$  от температуры корпуса  $T_c$  для синусоидальной формы тока при различных углах проводимости ( $f=50$  Гц, Двустороннее охлаждение)**



**Рис. 10 - Зависимость среднего прямого тока  $I_{FAV}$  от температуры корпуса  $T_c$  для прямоугольной формы тока при различных углах проводимости ( $f=50$  Гц, Двустороннее охлаждение)**

$T_j = 150\text{ }^\circ\text{C}$

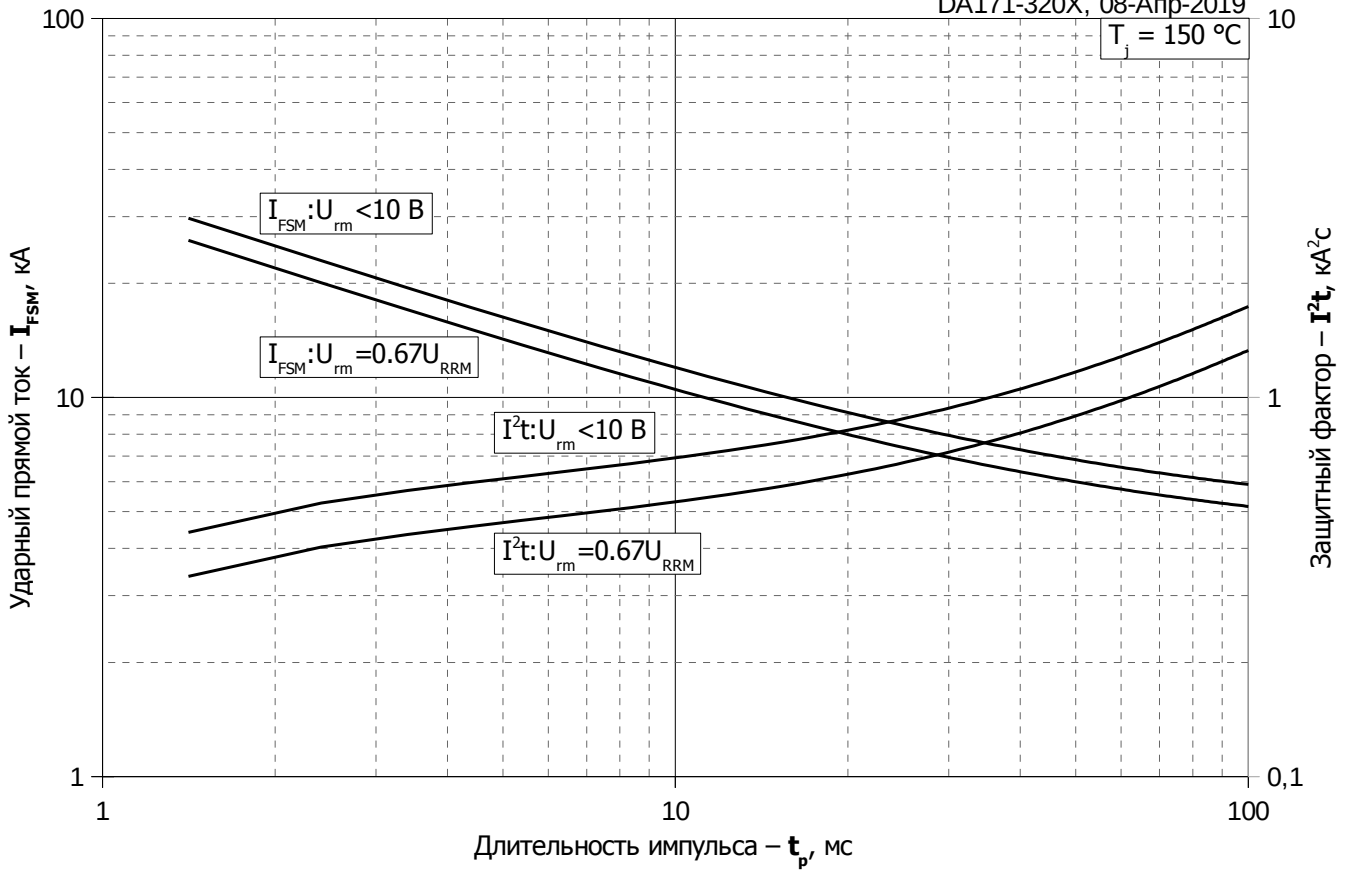
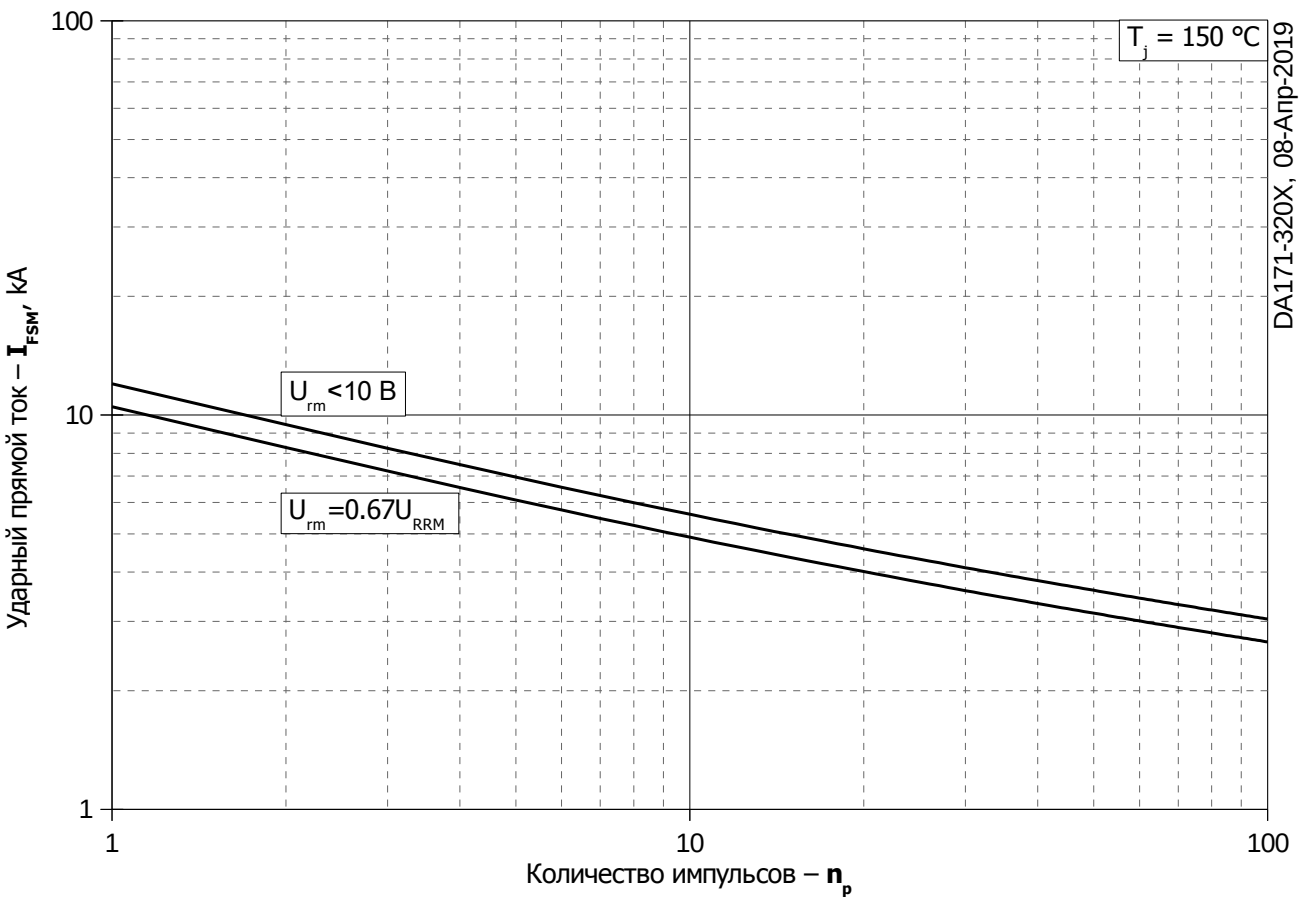


Рис. 11 – Зависимость максимальной амплитуды ударного прямого тока  $I_{FSM}$  и защитного фактора  $I^2t$  от длительности импульса  $t_p$



DA171-320X, 08-Апр-2019

Рис. 12 – Зависимость максимальной амплитуды ударного прямого тока  $I_{FSM}$  от количества импульсов  $n_p$